# Отчёт по практическому заданию по ДГСП

# Лазар Владислав Игоревич, 416 группа 11 апреля 2025 г.

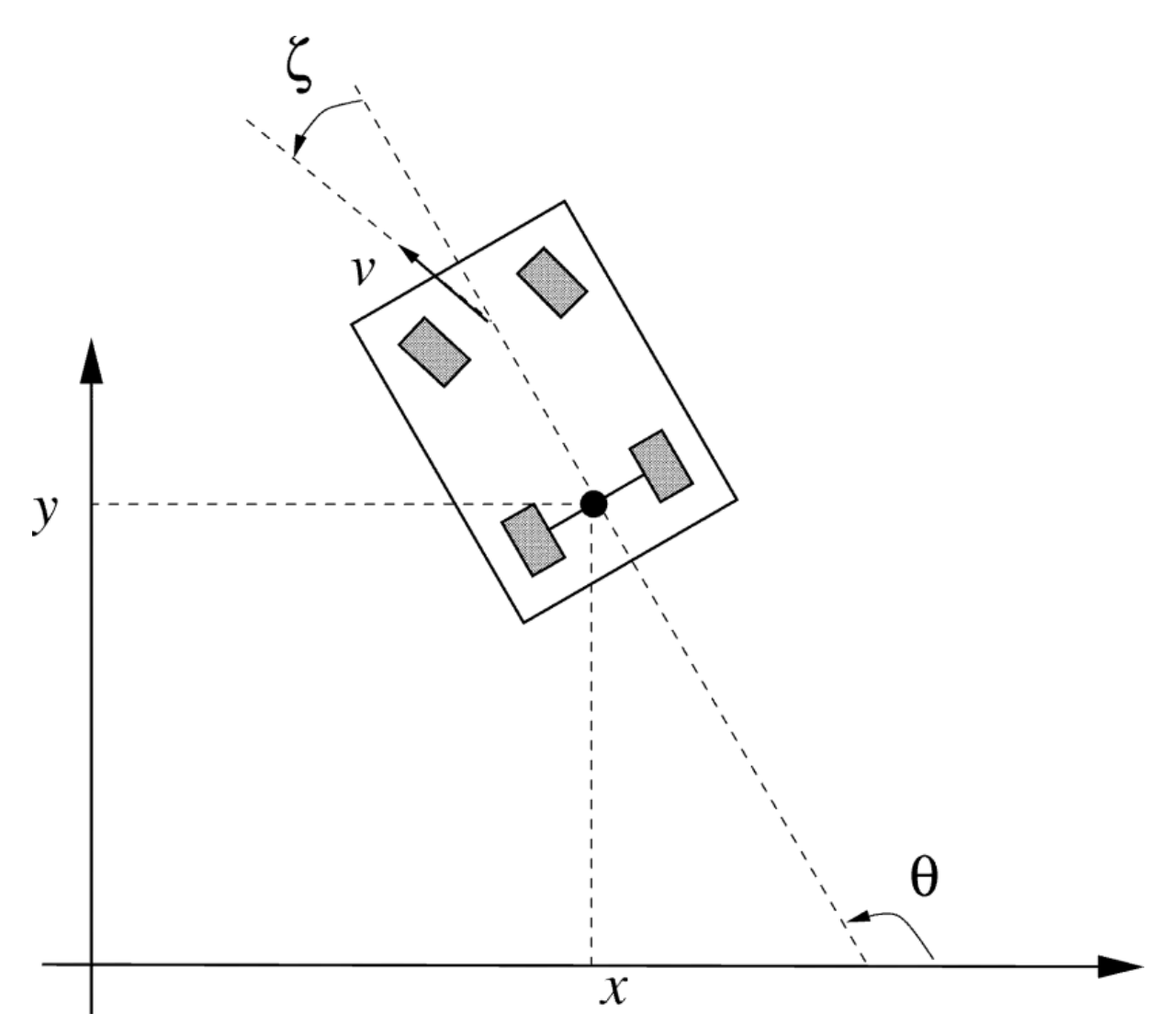
## Содержание

1	Teo	Теоретическая часть					
	1.1	Иссле	дуемое явление	2			
	1.2	Систе	ма наблюдения	3			
2	Пра	Практическая часть					
	2.1	Значе	ния параметров системы	5			
	2.2	Сравн	иение работы алгоритмов	5			
		2.2.1	Оценки траектории	6			
		2.2.2	Ошибки оценивания $x_1$	10			
		2.2.3	Ошибки оценивания $x_2$	14			
		2.2.4	Ошибки оценивания $ heta$				
		2.2.5	Ошибки оценивания $\phi$	22			
		2.2.6	Графики ошибок для нерасходящихся траекторий				
		2.2.7	Графики ошибок для всех траекторий	30			
		2.2.8	Численные результаты				
3	Вы	воды г	10 расчётам	35			

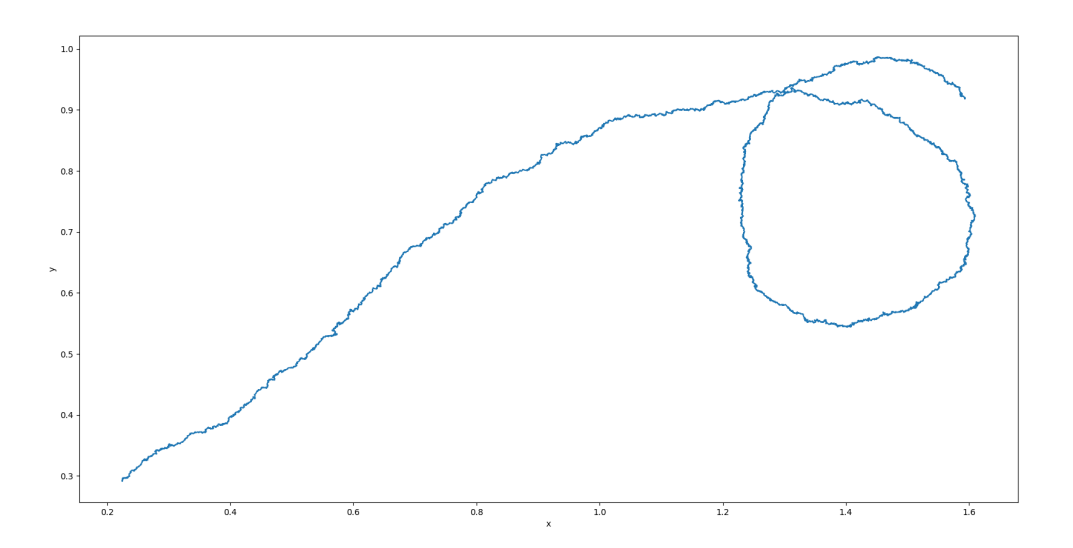
## 1 Теоретическая часть

### 1.1 Исследуемое явление

В данной работе рассматривается задача наблюдения за перемещающейся по плоскости тележкой. Состоянием тележки является её положение на плоскости (x, y, ориентация в пространстве) и угол поворота колёс. На плоскости в начале координат установлен локатор, измеряющий расстояние до тележки и угол направления на неё.



Далее будет описана используемая матемаическая модель. Типичная траектория получаемая с её помощью выглядит следующим образом:



#### 1.2 Система наблюдения

Математическая модель описывается системой с дискретным временем:

$$\begin{cases} x_{1,k} = x_{1,k-1} + Tcos(\theta_{k-1})cos(\phi_{k-1})u_{1,k-1} \\ x_{2,k} = x_{2,k-1} + Tsin(\theta_{k-1})cos(\phi_{k-1})u_{1,k-1} \\ \theta_k = \theta_{k-1} + Tsin(\phi_{k-1})\frac{u_{1,k-1}}{l} + \omega_{3,k} \\ \phi_k = \phi_{k-1} + Tu_{2,k-1} + \omega_{4,k} \end{cases}$$

где

- $x_1$  координата объекта по оси х
- $x_2$  координата объекта по оси у
- $\theta$  угол между направлением движения тележки и положительной полуосью Ох (ориентация на плоскости)
- ullet  $\phi$  угол поворота колёс тележки относительно направления движения
- ullet T параметр дискретизации системы по времени
- l расстояние между осями тележки
- $\omega$  шум в модели динамики,  $\omega_k \sim \mathcal{N}(0,Q)$
- $u_1$  управляемая линейная скорость
- ullet  $u_2$  управляемая угловая скорость

Наблюдения определяются следующим образом:

$$\begin{cases} r_k = \sqrt{x_{1,k}^2 + x_{2,k}^2} + \nu_{1,k} \\ \alpha_k = \arctan(\frac{x_{2,k}}{x_{1,k}}) + \nu_{2,k} \end{cases}$$

где

- ullet  $r_k$  расстояние от локатора до цели
- ullet  $\alpha_k$  угол направления от локатора к цели
- $\nu$  шум в наблюдениях,  $\nu \sim \mathcal{N}(0,R)$

## 2 Практическая часть

#### 2.1 Значения параметров системы

В численных экспериментах установим следующие параметры системы:

$$l = 0.1, u_1 = 3, u_2 = 0$$

Шаги по времени:

$$\delta_1 = \delta_2 = 10^{-3}, \ \delta_1 = 10^{-2}, \ T_{max} = 1$$

Заметим, что равенство  $\delta_1$  и  $\delta_2$  следует из того, что система заране дискретизирована.

Также для наблюдений вместо arctan возьмём  $\arctan_2$ . Это обусловлено тем, что область действия  $\arctan - \left[ -\frac{\pi}{2}; \frac{\pi}{2} \right]$ , а  $\arctan_2$  - весь тригонометрический круг. Благодаря этому мы сможем избежать ошибки наблюдений с неправильным определением полуплоскости.

Матрицы шумов возьмём следующими:

$$Q = \begin{bmatrix} 3 \cdot 10^{-7} & 0 & 0 & 0 \\ 0 & 3 \cdot 10^{-7} & 0 & 0 \\ 0 & 0 & 3 \cdot 10^{-5} & 0 \\ 0 & 0 & 0 & 3 \cdot 10^{-5} \end{bmatrix}$$

$$R = 5 \cdot 10^{-3} \cdot I_2$$

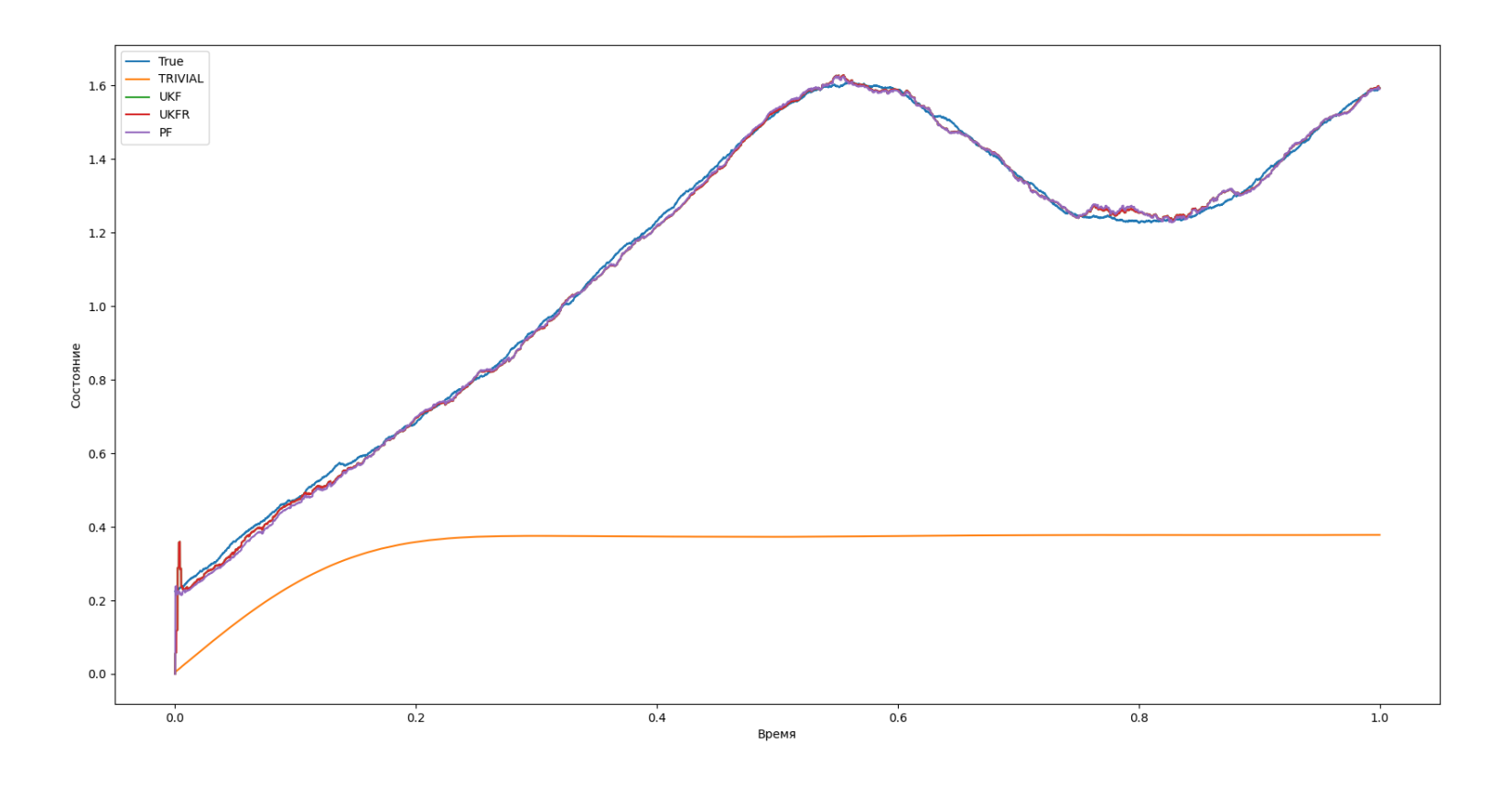
Начальное значение траектории моделируется следующим образом:

$$X_0 \sim \mathcal{N}(0, 0.3 \cdot I_4)$$

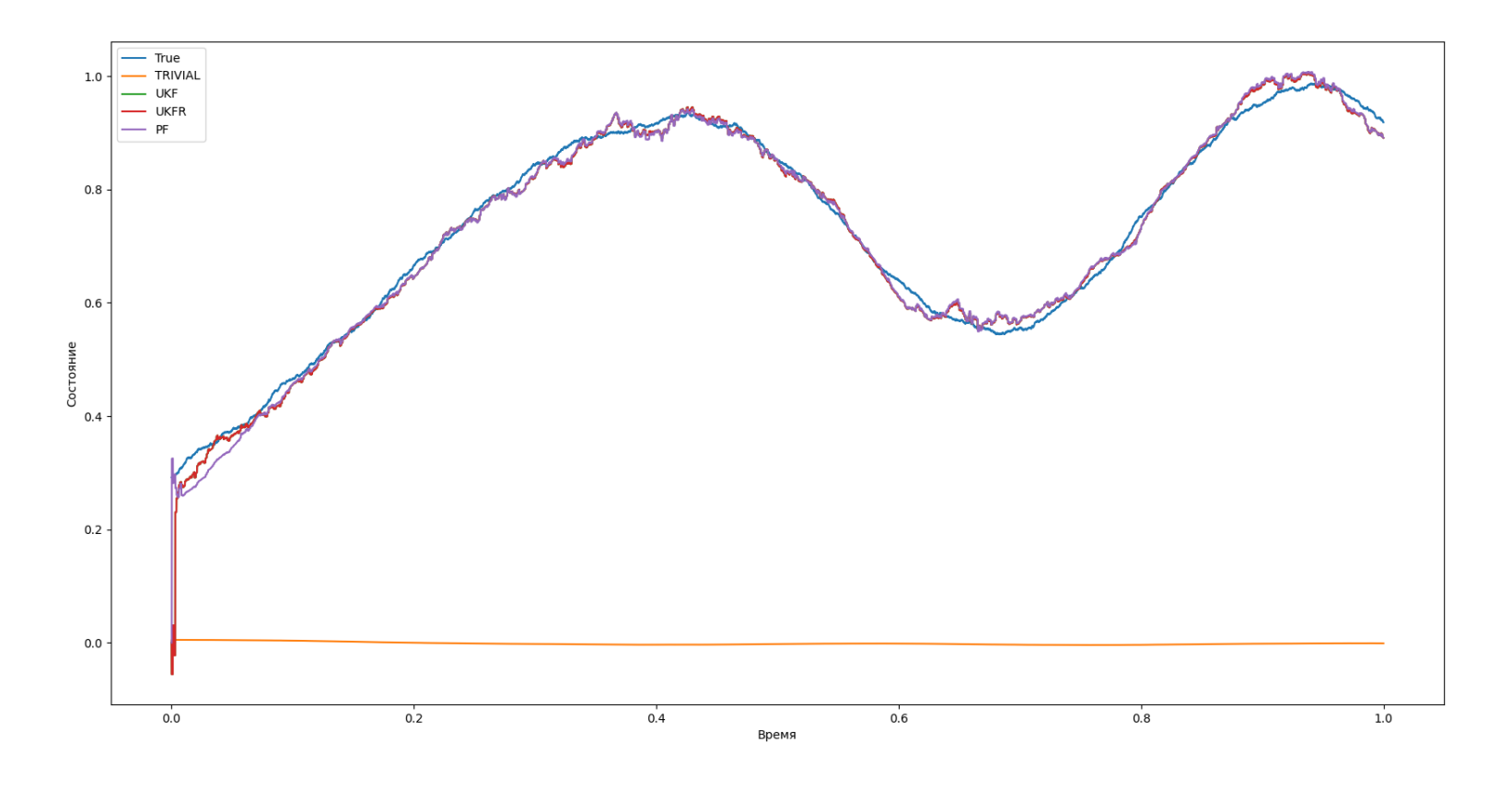
Все необходимые для фильтрации параметры были посчитаны аналитически во время работы программы с помощью соответствующих пакетов Python (filterpy, sympy). Реализации всех фильтров также взяты из соответствующих пакетов на Python. Также для достижения большей точности были использованы 128-битные числа с плавающей точкой (стандарт IEEE 754).

#### 2.2 Сравнение работы алгоритмов

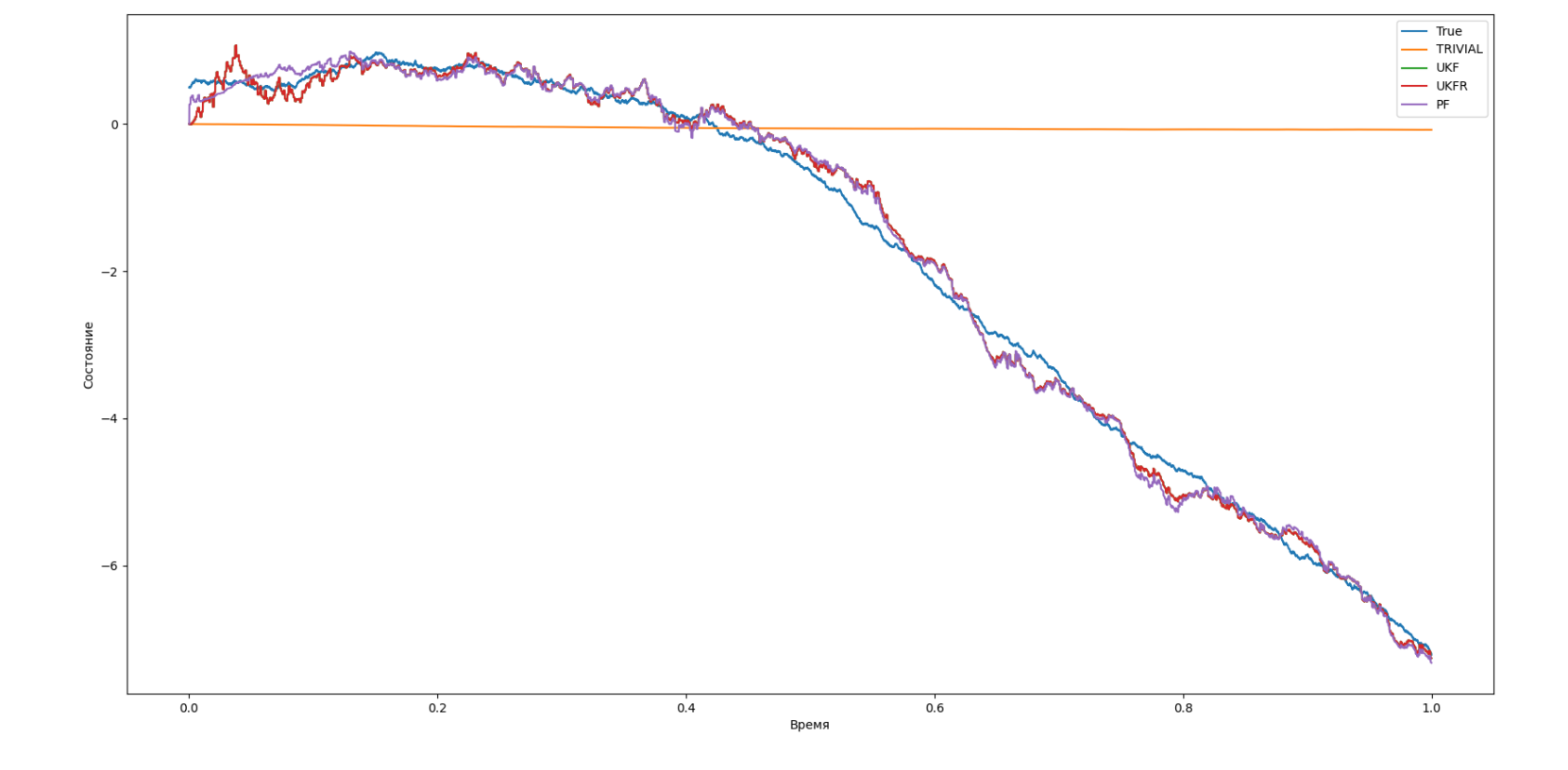
**Рис. 1:** Оценка  $x_1$ 



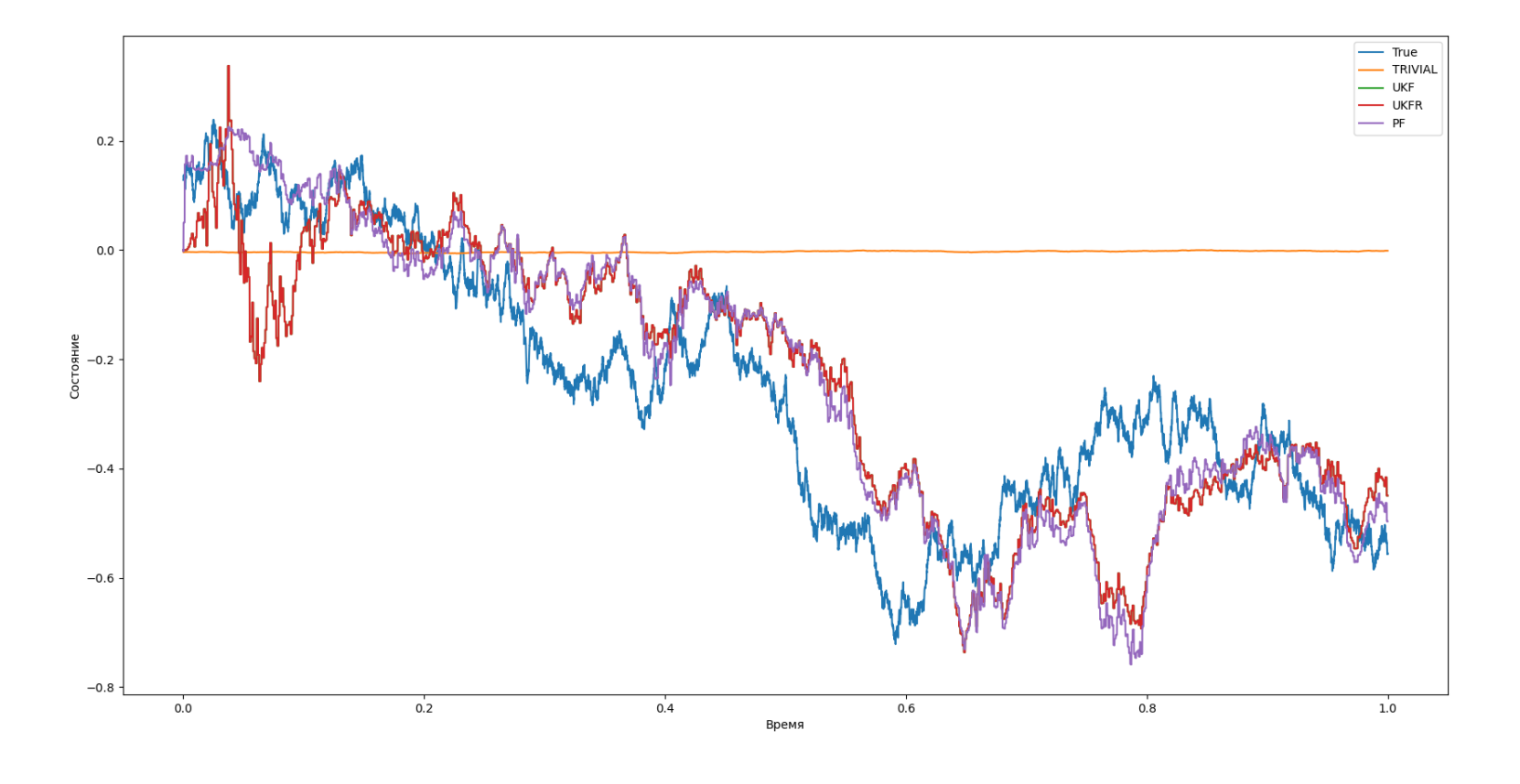
6



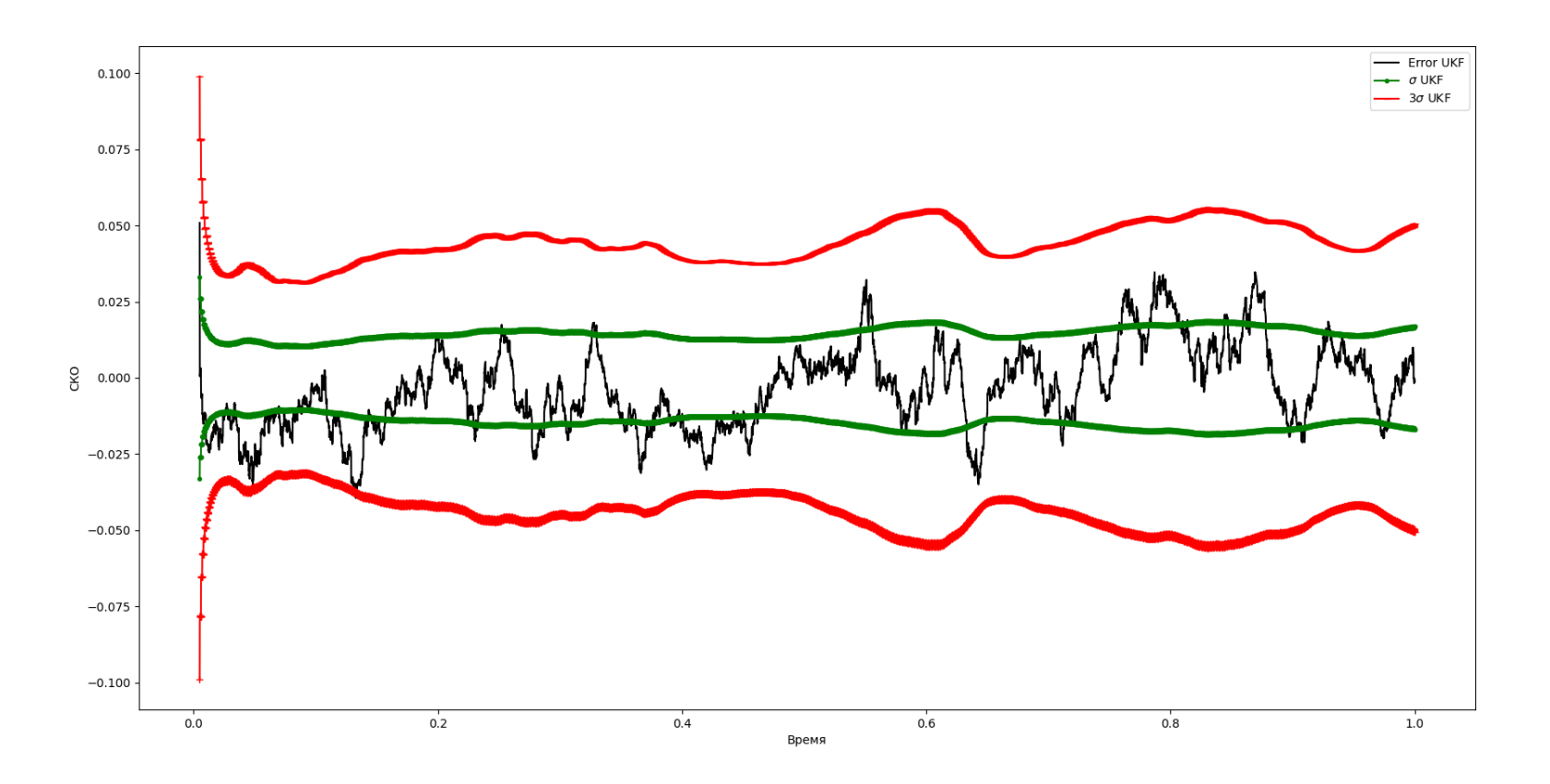
 $\sim$ 

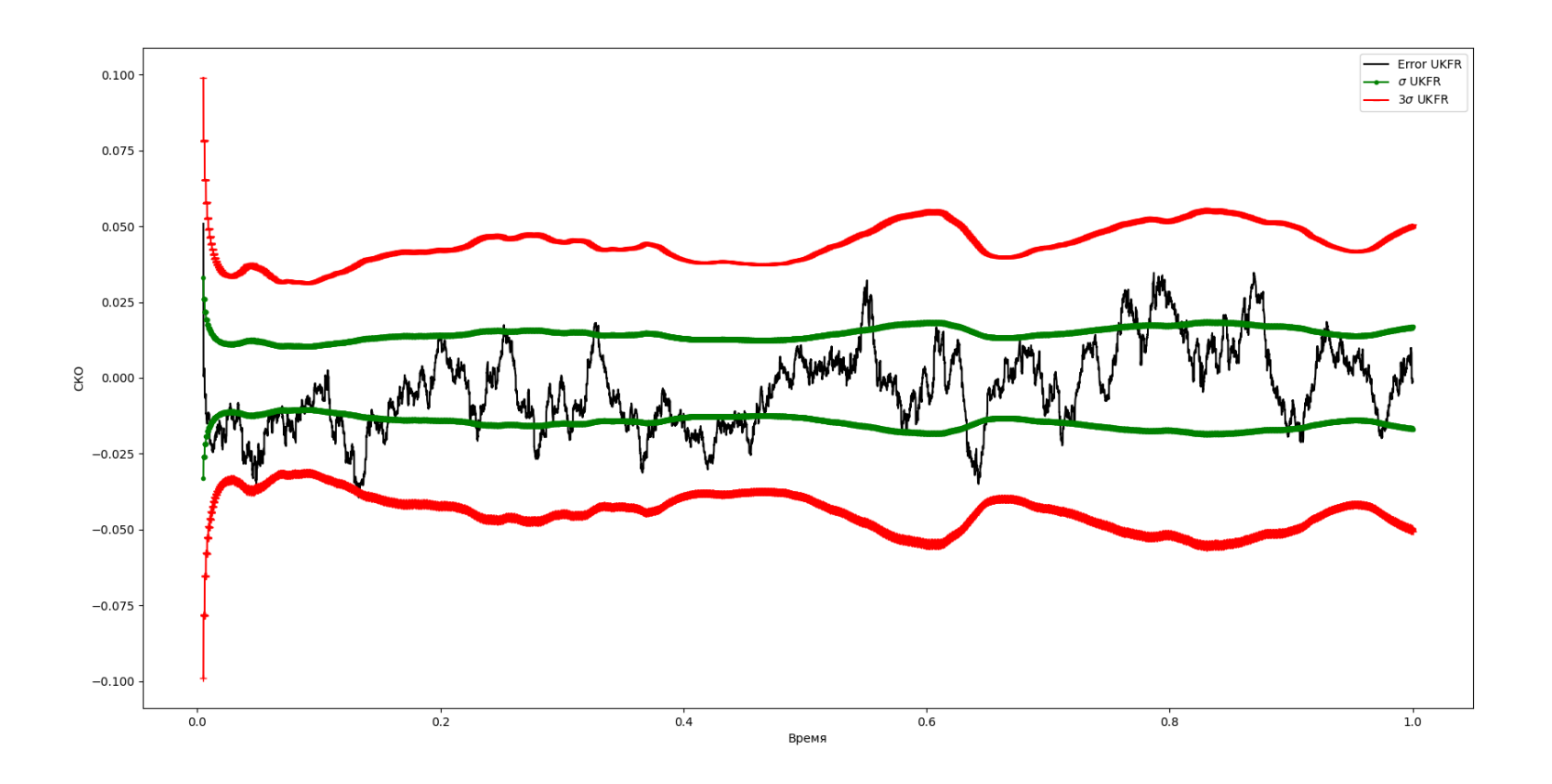


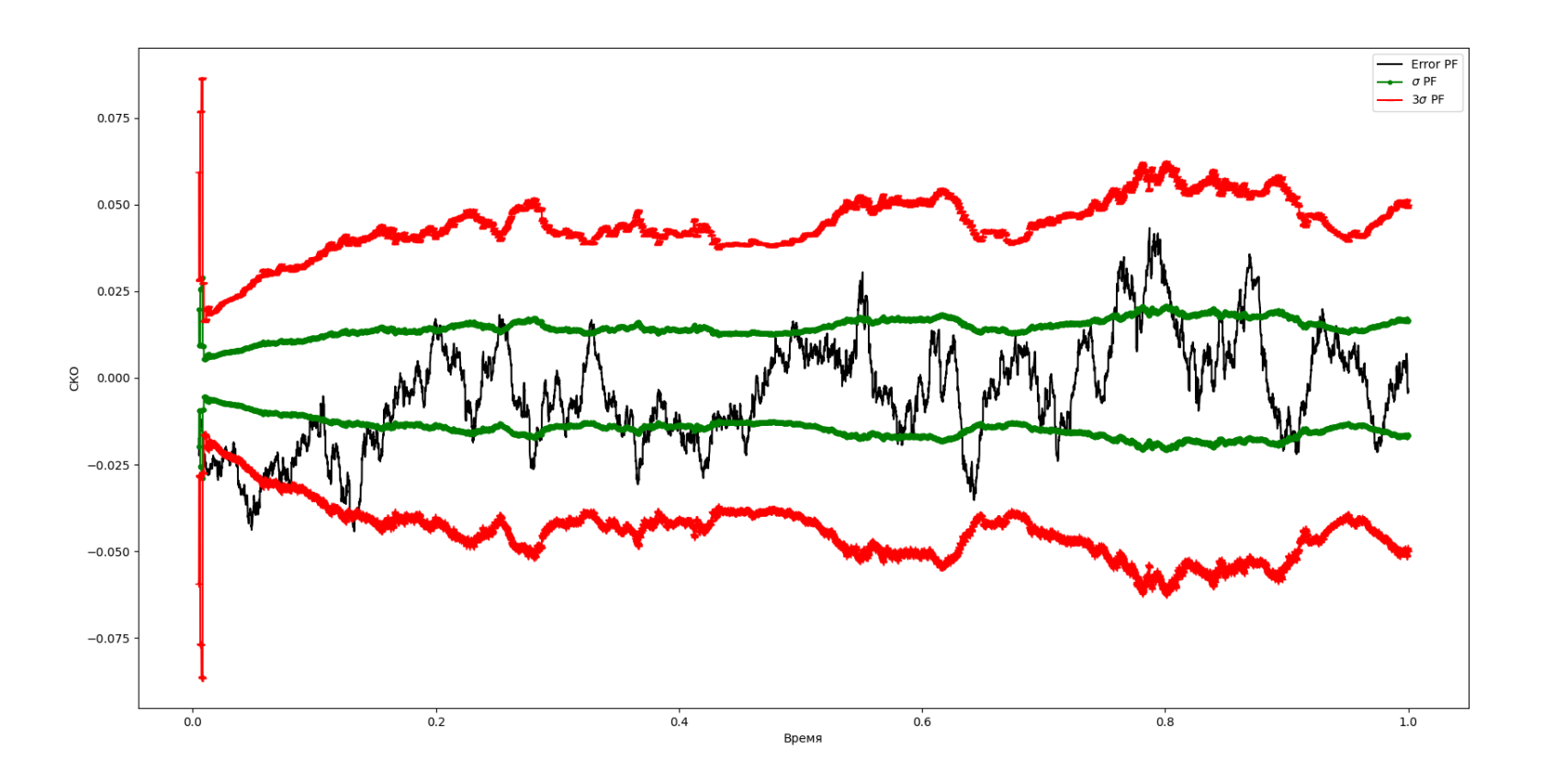
 $\infty$ 



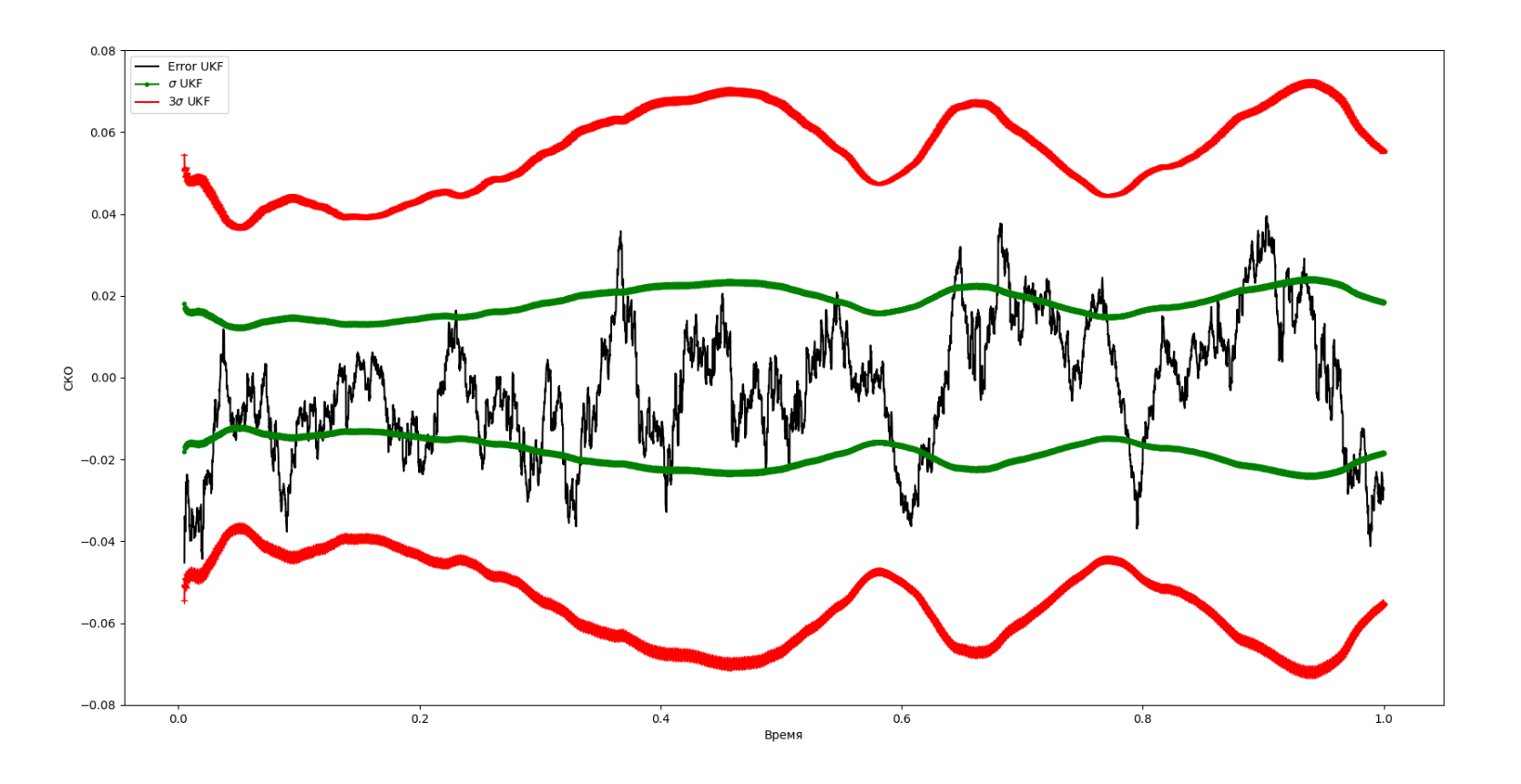
င

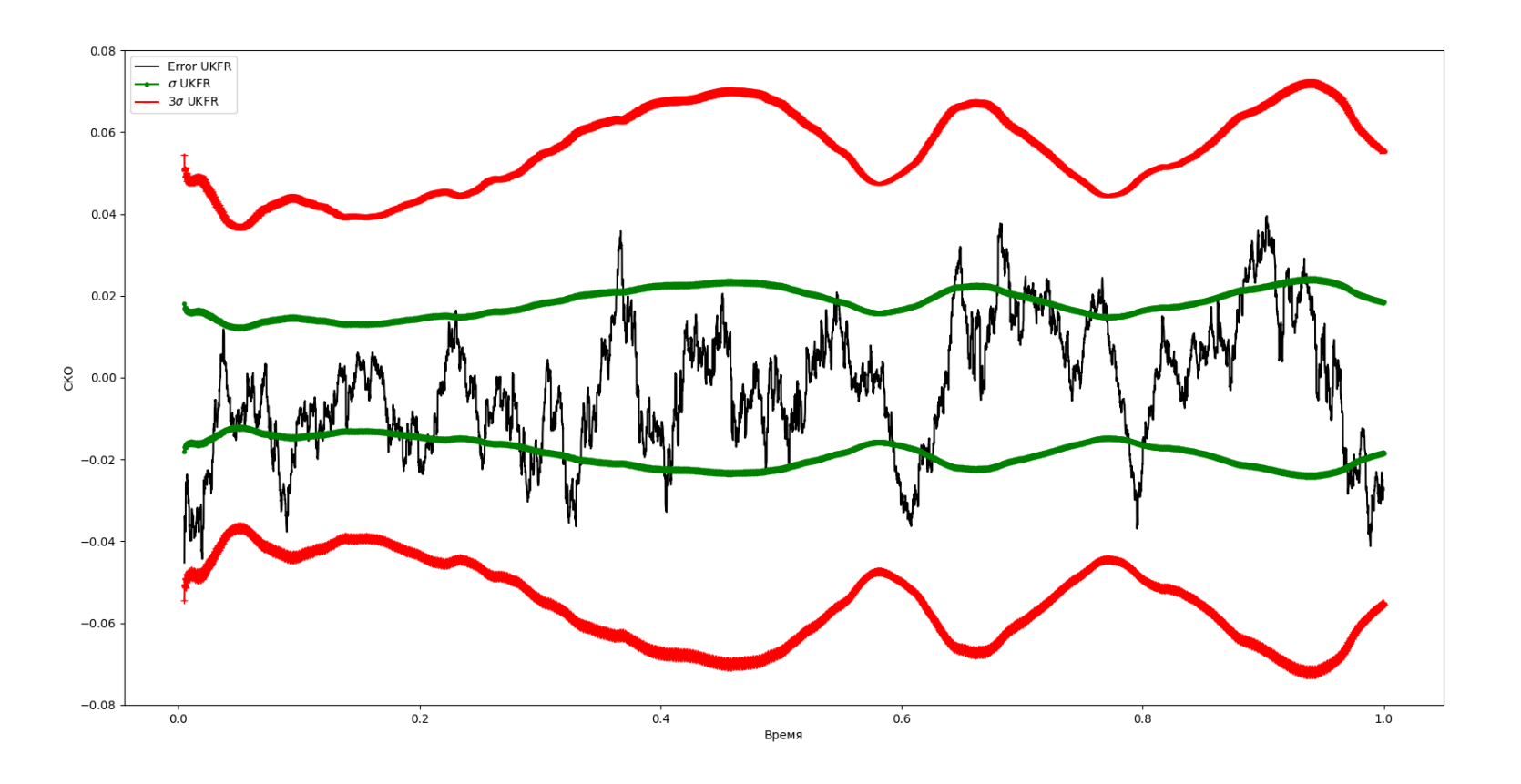


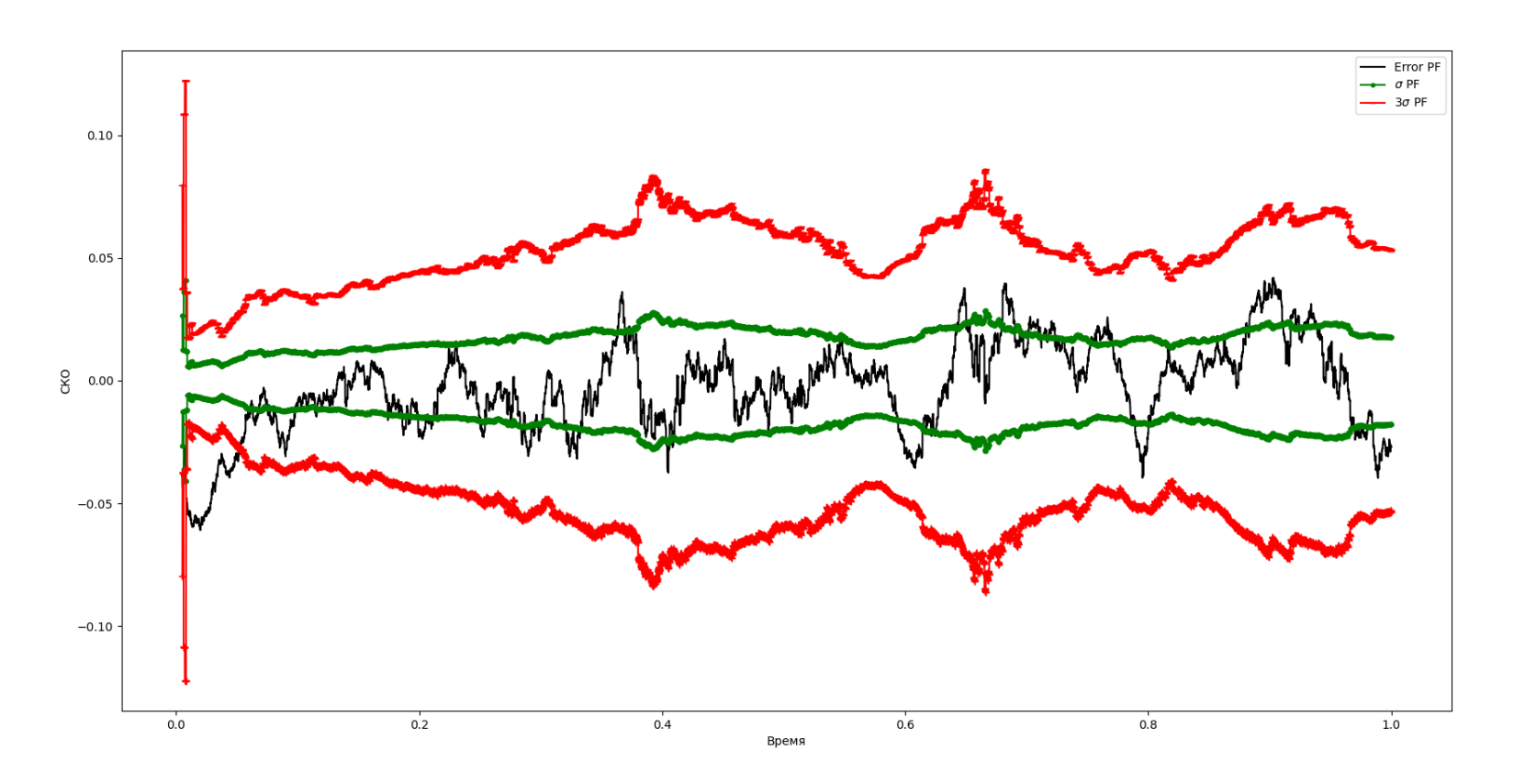


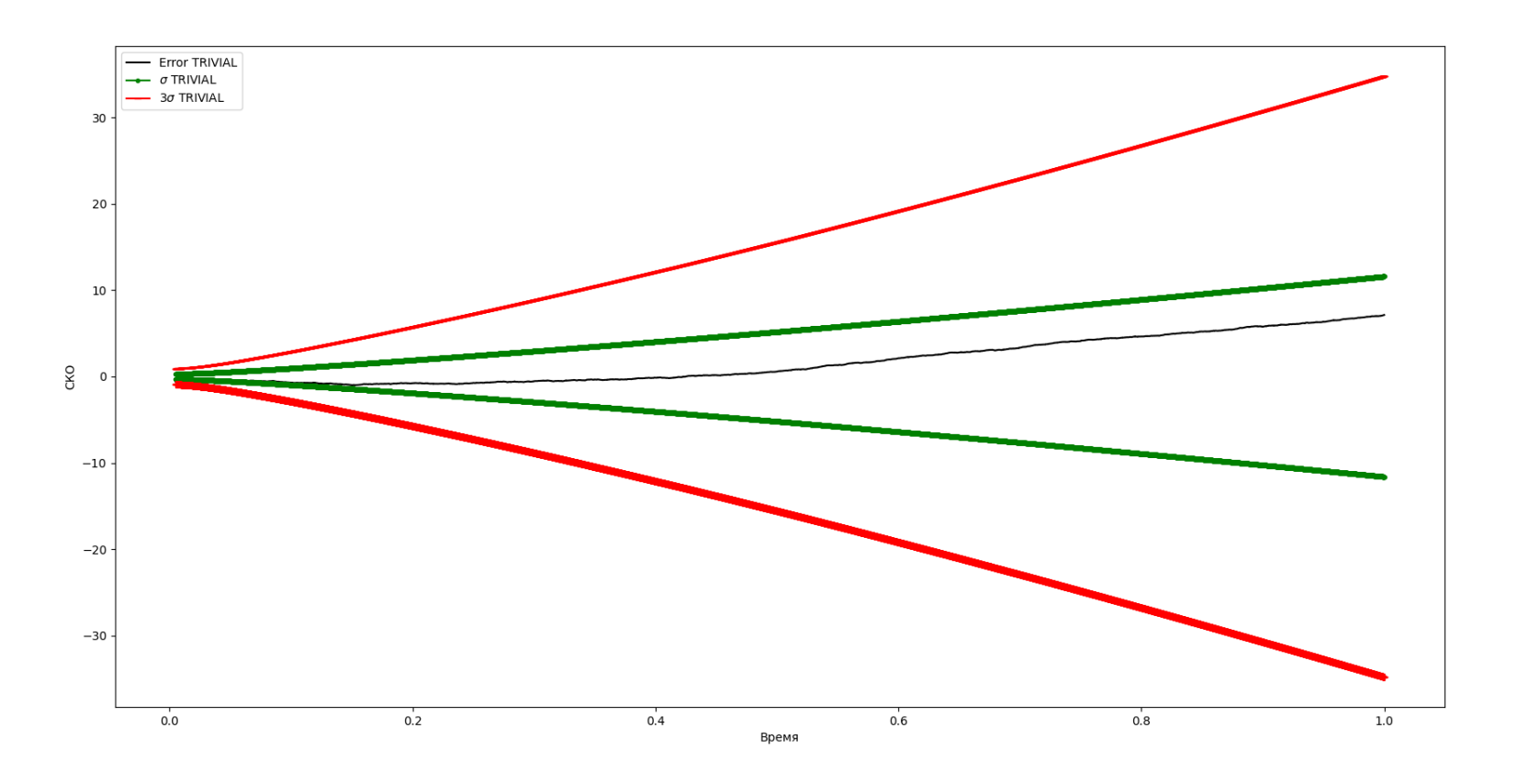


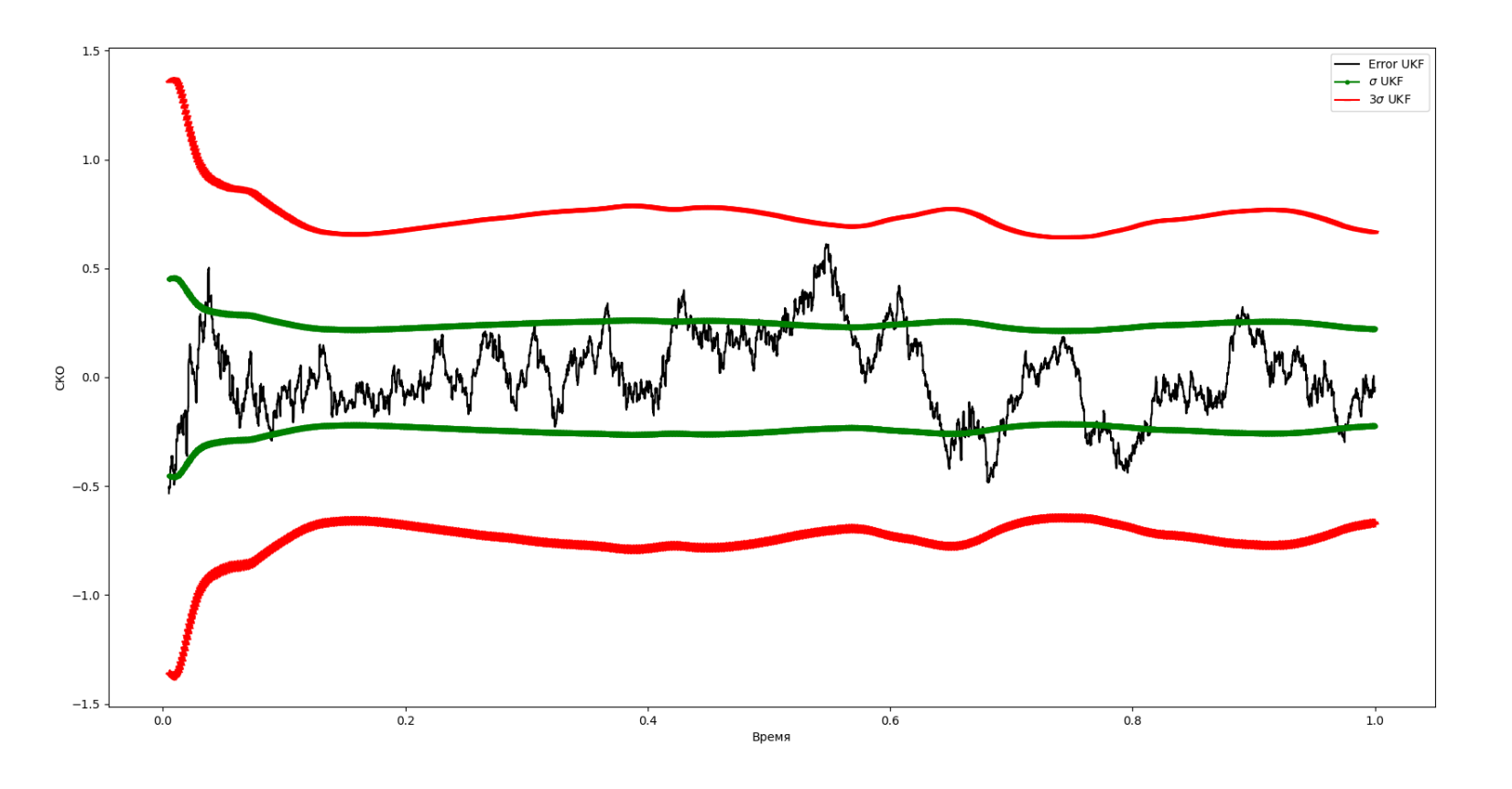
Время

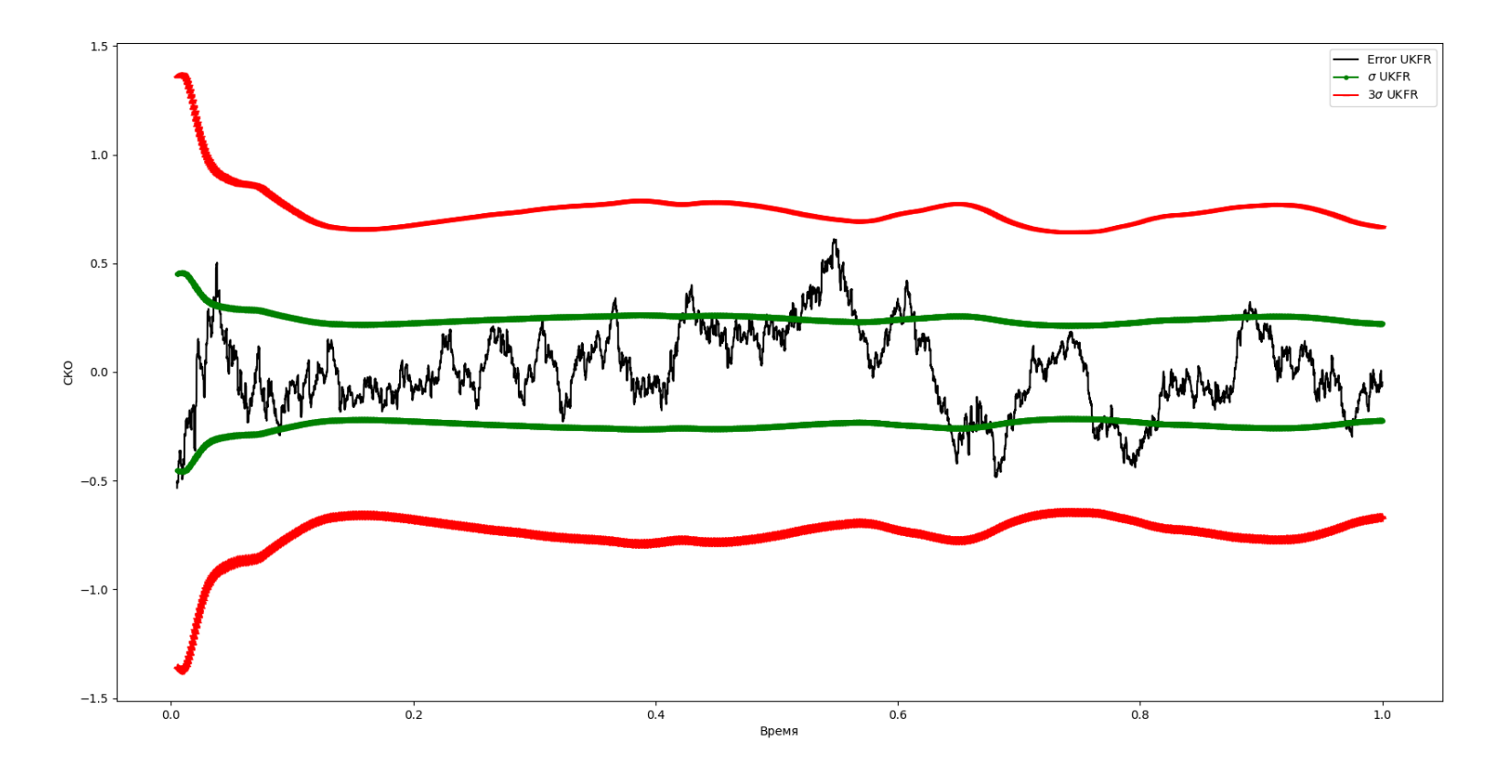


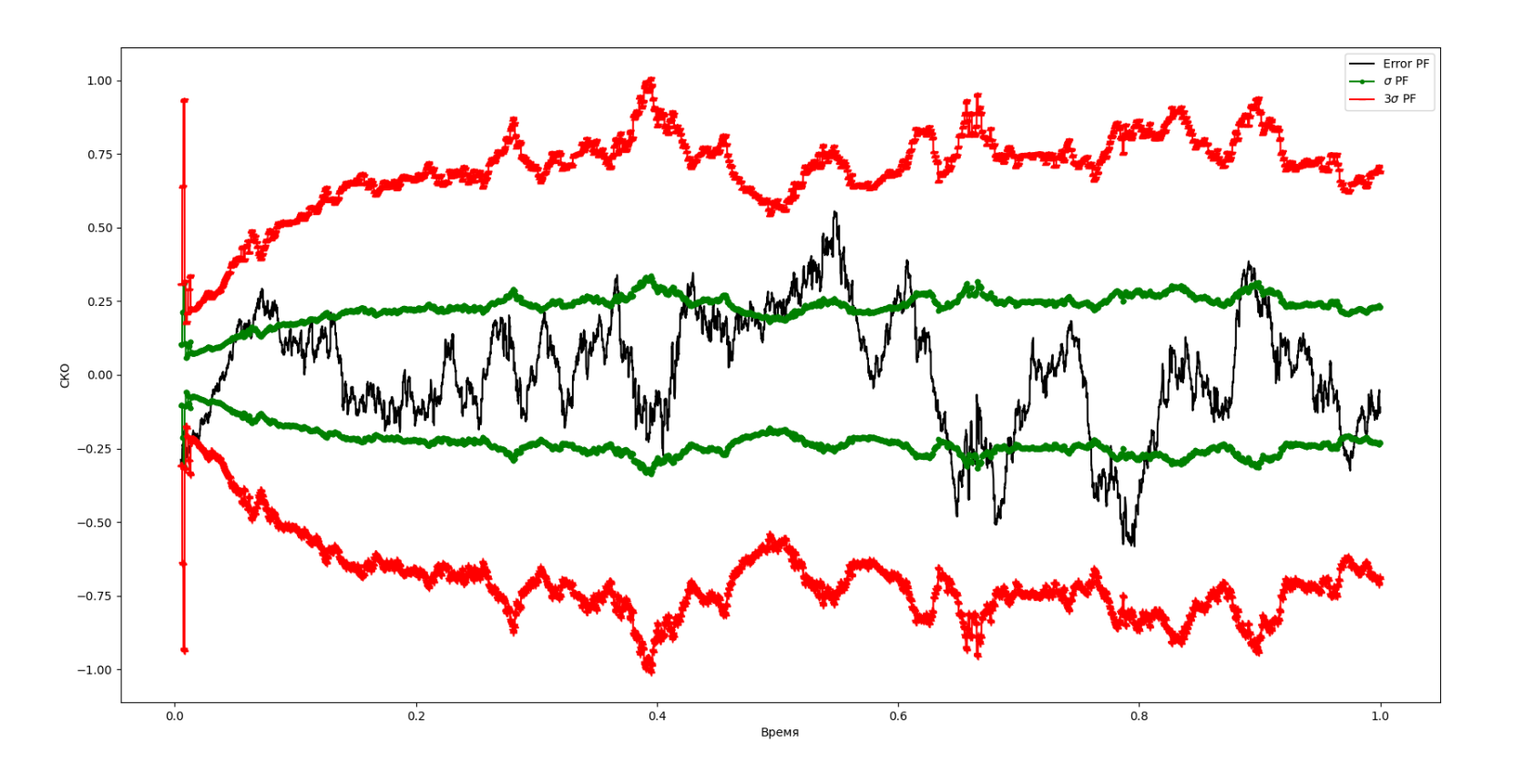






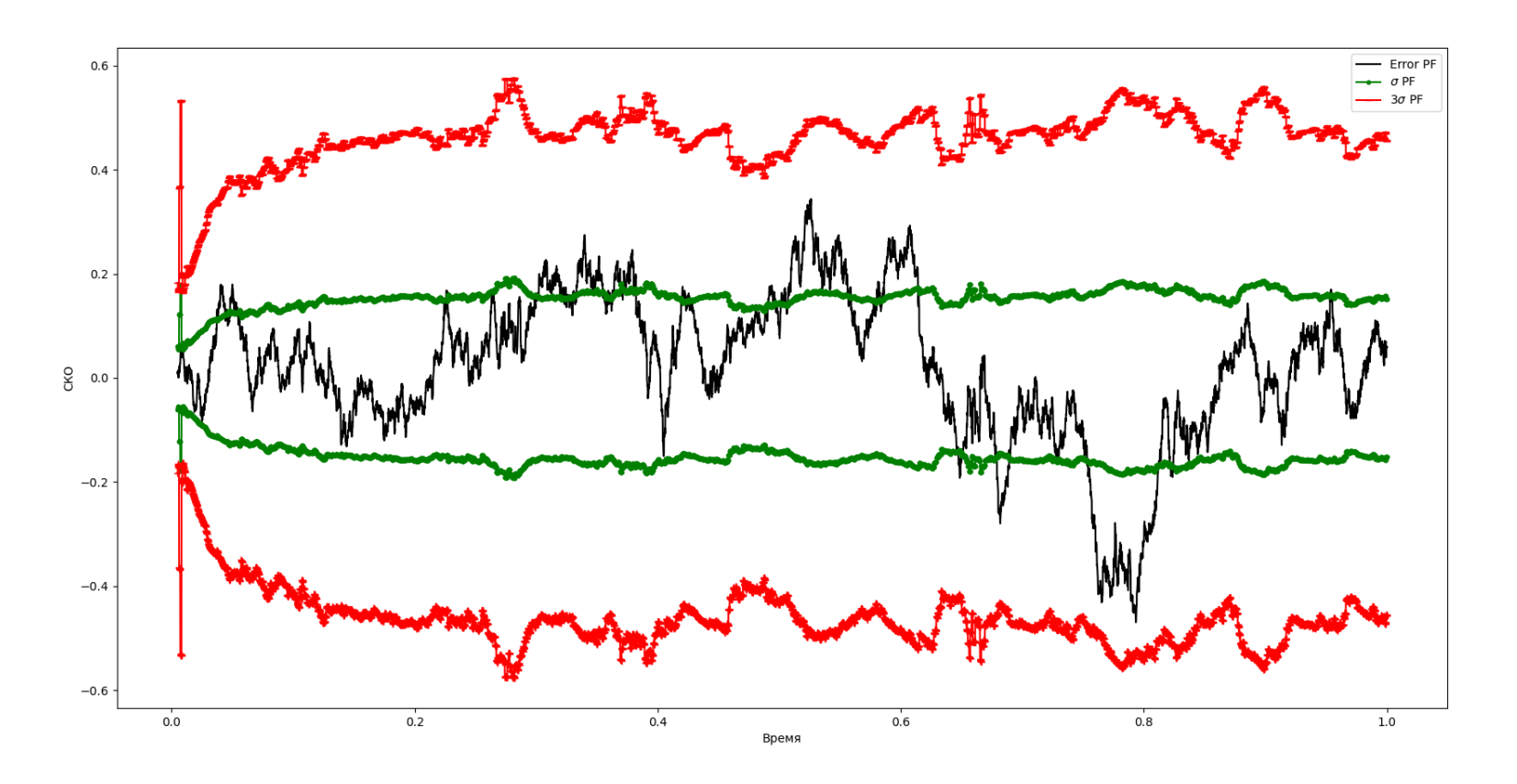




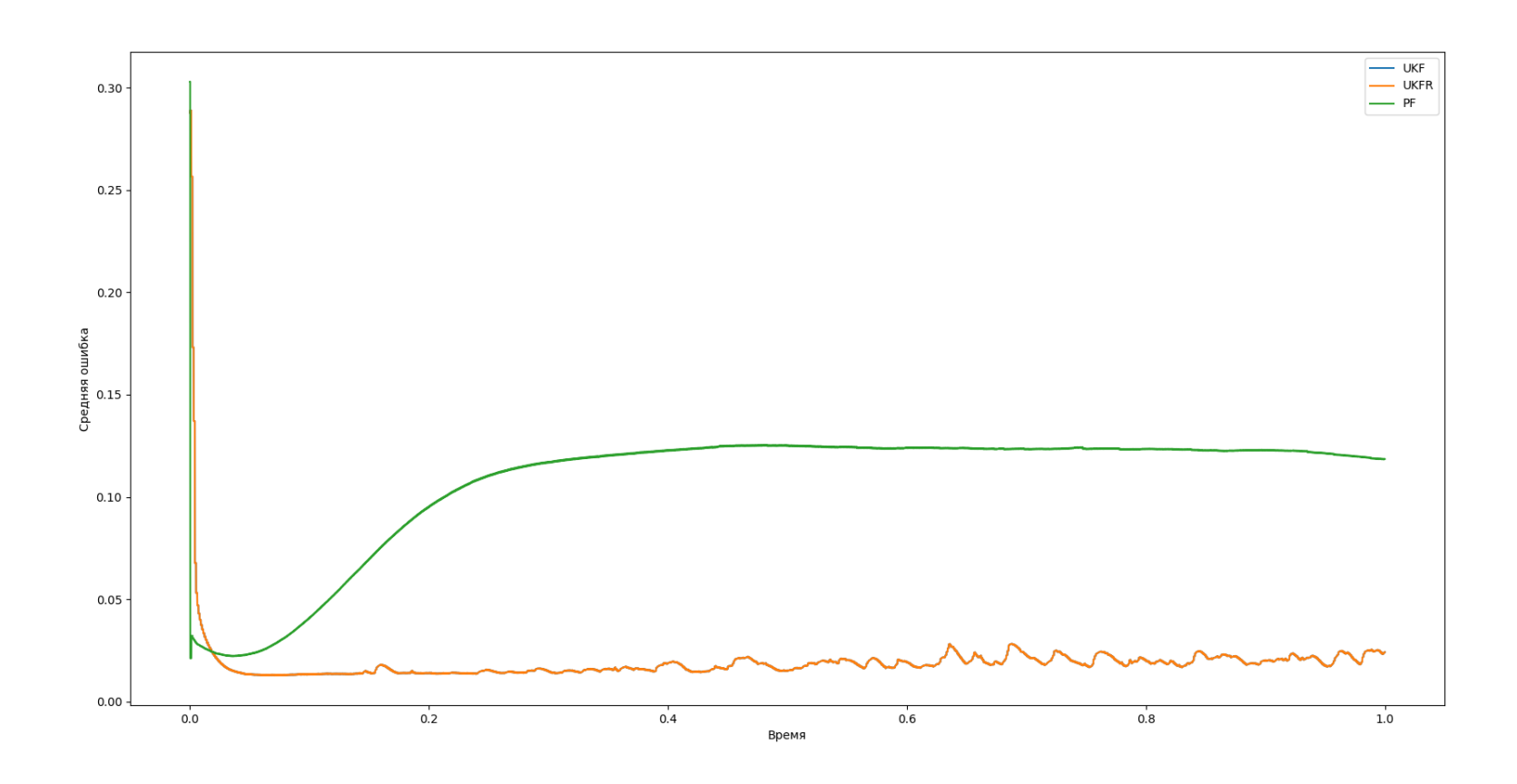




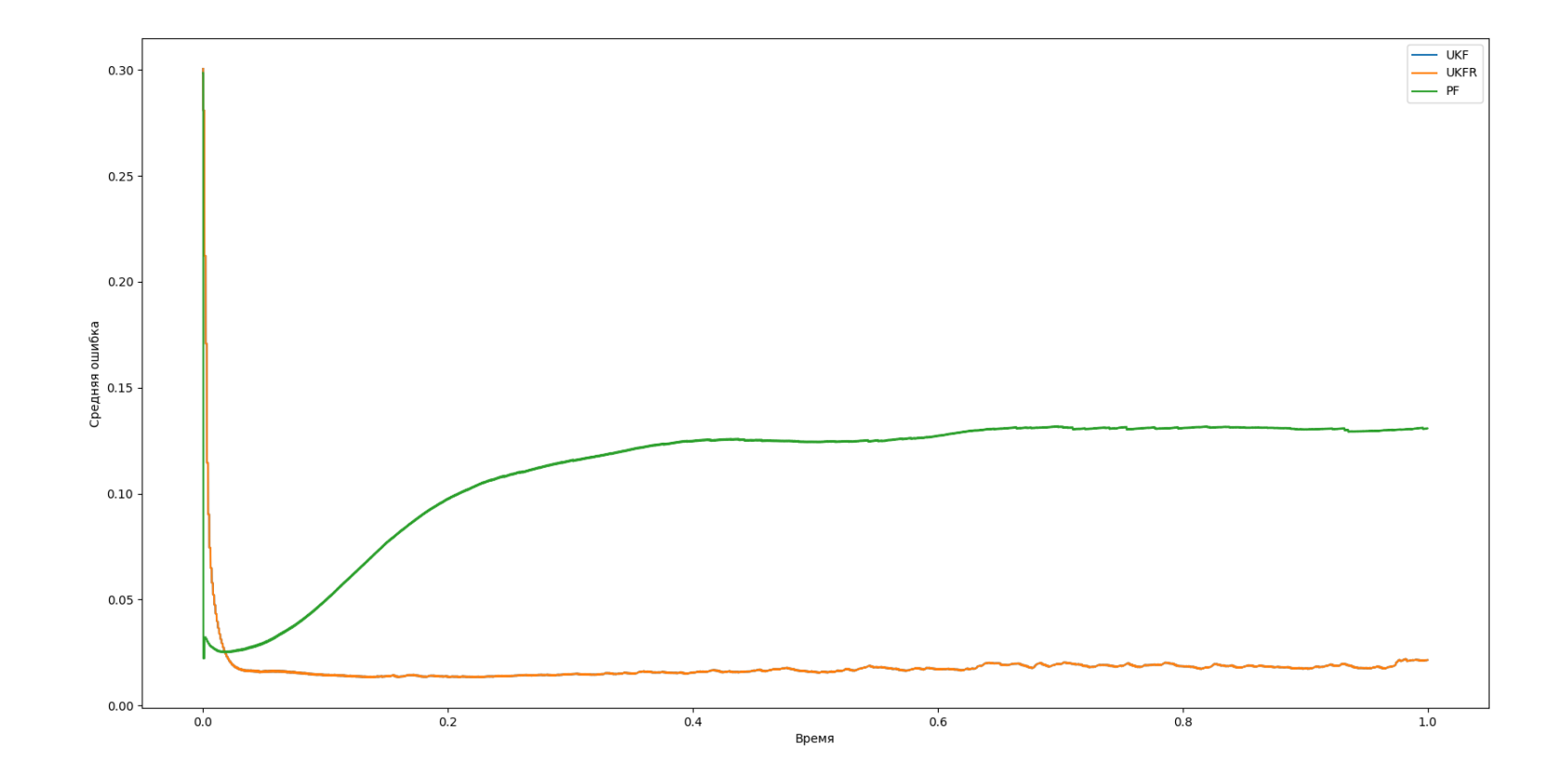




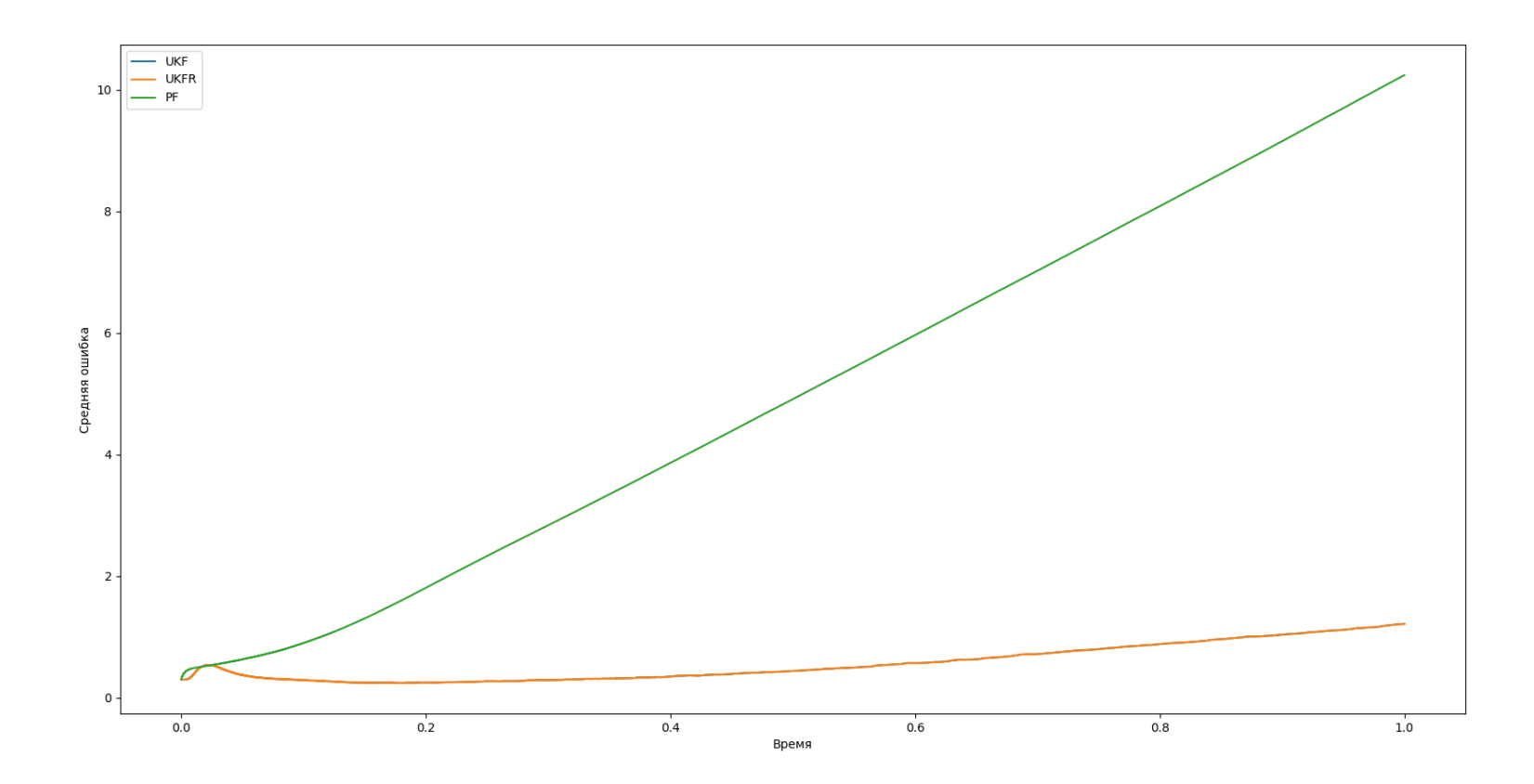
**Рис. 5:** Ошибка  $x_1$ 



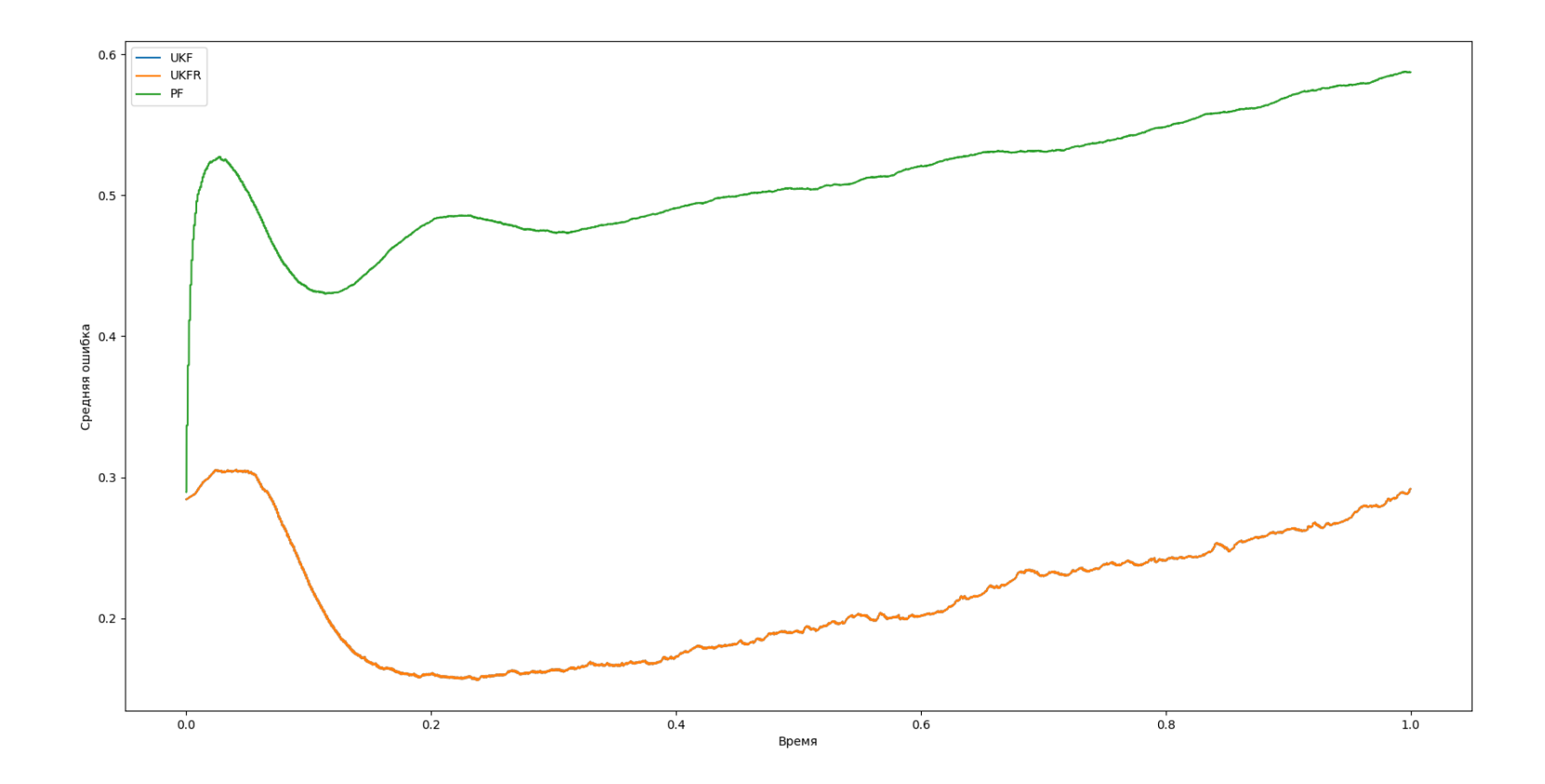
**Рис. 6:** Ошибка  $x_2$ 



**Рис. 7:** Ошибка  $\theta$ 

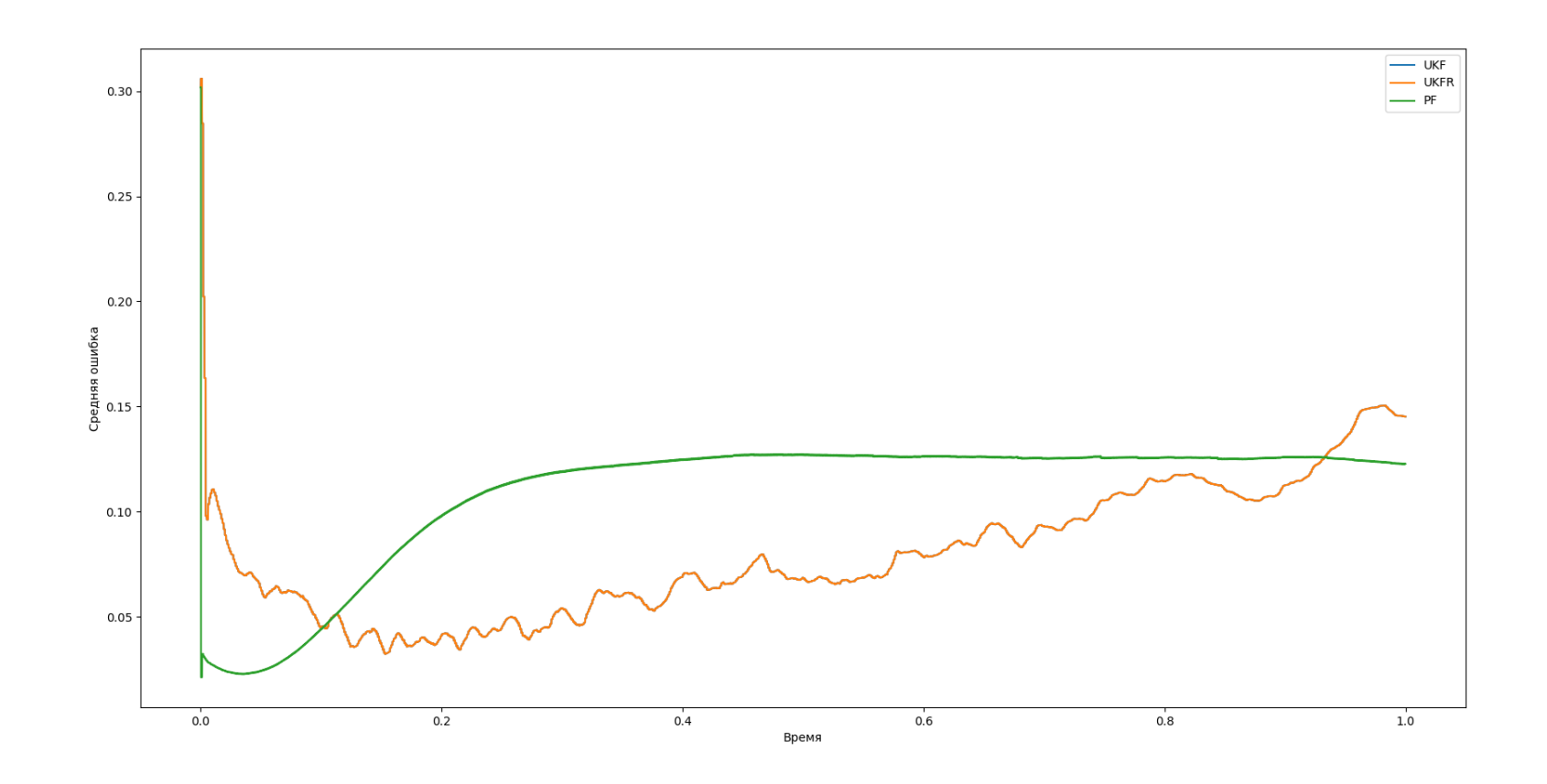


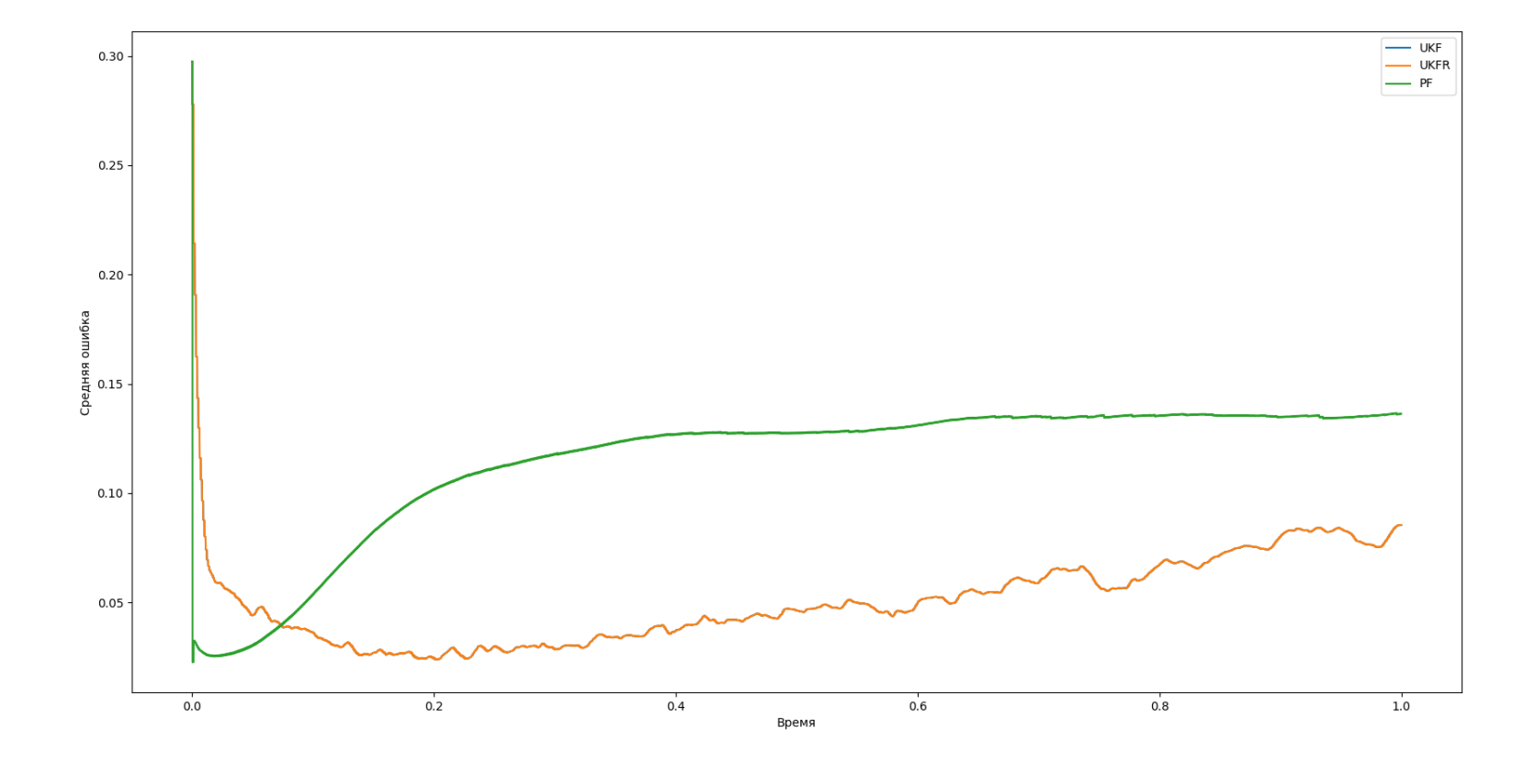
**Рис. 8:** Ошибка  $\phi$ 



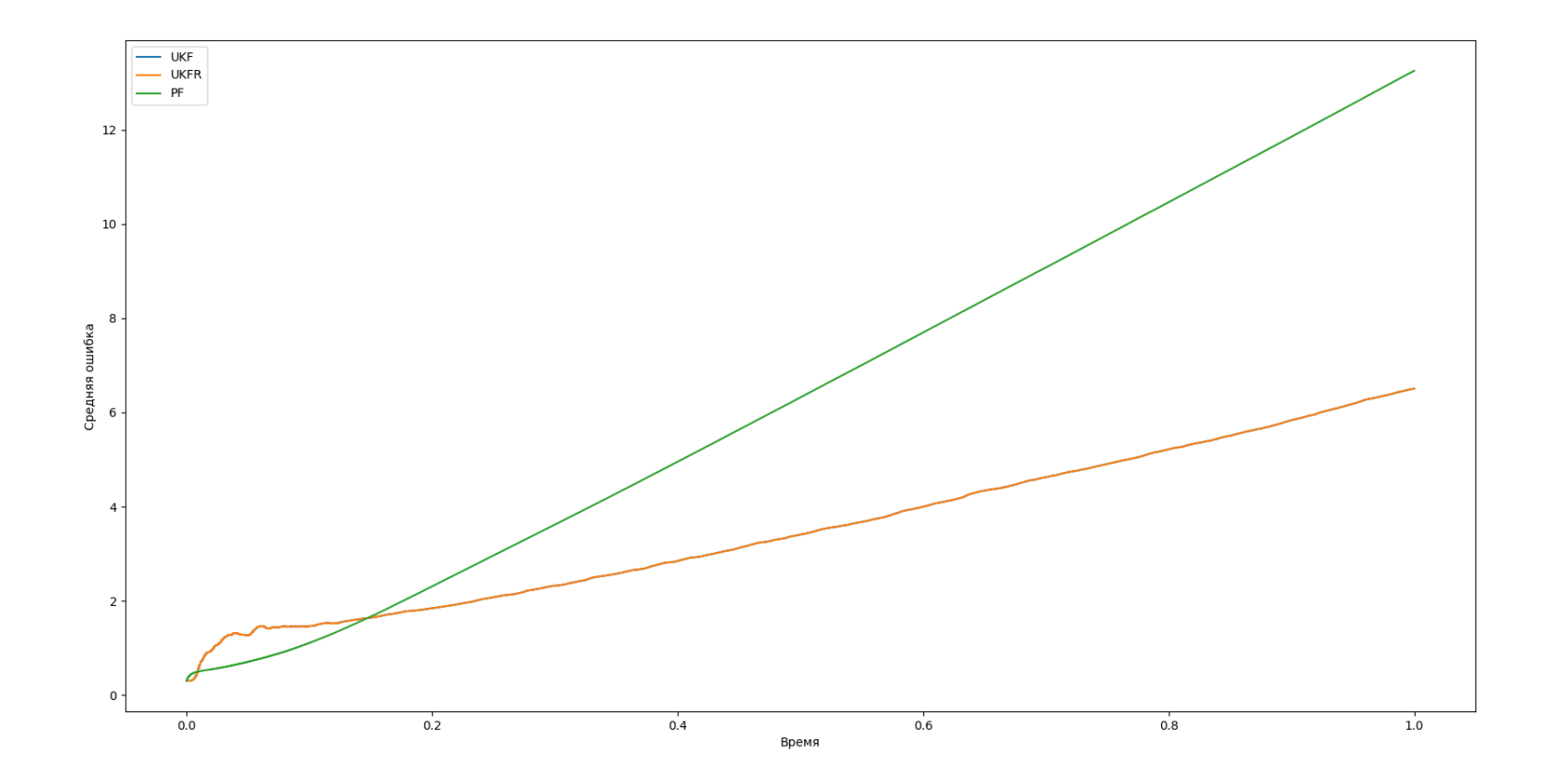
## 2.2.7 Графики ошибок для всех траекторий

**Рис. 9:** Ошибка  $x_1$ 

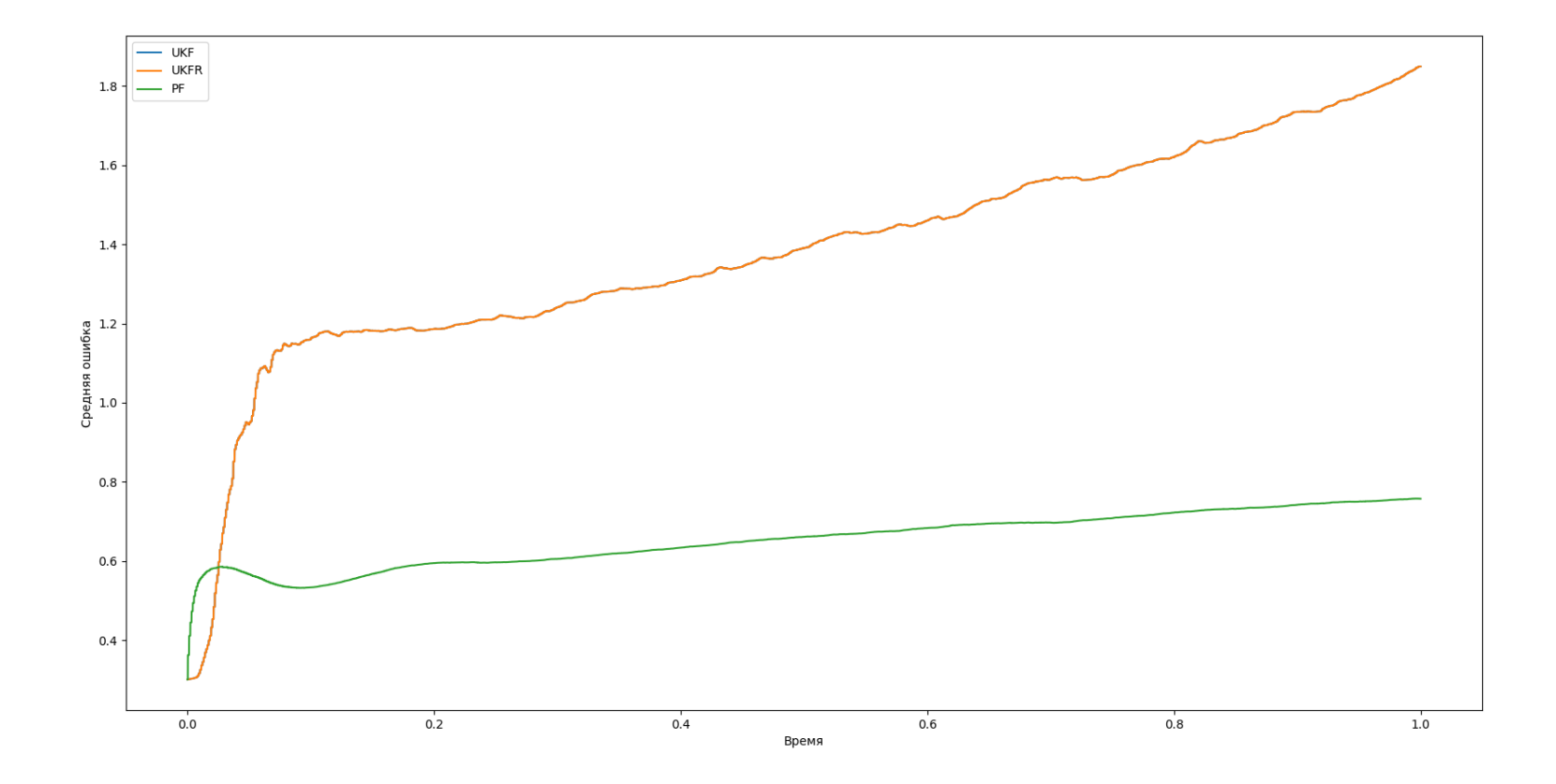




**Рис. 11:** Ошибка  $\theta$ 



**Рис. 12:** Ошибка  $\phi$ 



### 2.2.8 Численные результаты

Метод	Процент расходящихся траекторий
UKF	16.72
UKFR	16.72
PF	6.09

Время	UKF	UKFR	PF
0.14	0.01454	0.01454	0.0401
0.43	0.01618	0.01618	0.05342
0.71	0.02032	0.02032	0.04768

**Таблица 1:** Средние ошибки фильтров на оценивания  $x_1$ 

Время	UKF	UKFR	PF
0.14	0.01348	0.01348	0.04384
0.43	0.01557	0.01557	0.05537
0.71	0.0187	0.0187	0.0506

**Таблица 2:** Средние ошибки фильтров оценивания  $x_2$ 

Время	UKF	UKFR	$\mathbf{PF}$
0.14	0.51688	0.51688	0.88597
0.43	0.90071	0.90071	2.43857
0.71	1.44523	1.44523	4.00522

**Таблица 3:** Средние ошибки фильтров оценивания  $\theta$ 

Время	UKF	UKFR	PF
0.14	0.34427	0.34427	0.34907
0.43	0.4138	0.4138	0.35533
0.71	0.5228	0.5228	0.36586

**Таблица 4:** Средние ошибки фильтров оценивания  $\phi$ 

### 3 Выводы по расчётам

Из графиков видно, что оценки UKF и его корневой модификации ведут себя абсолютно одинаково. Это логично следует из вышеописанных особенностей реализации для 128-битных чисел. Более подробно о таком поведении фильтров Калмана написано в соответствующем разделе документации.

Также можно заметить, что лучше всего фильтры справляются с оценкой местоположения тележки, а хуже всего - с углами  $\theta$  и  $\phi$ . Этому есть логичное объяснение: в качестве наблюдений мы получаем полярные координаты тележки. Благодаря этому мы достаточно точно можем строить оценку для  $x_1$  и  $x_2$ . В то же время, в наблюдениях никоим образом не участвуют углы, поэтому информацию о них мы получаем косвенно через перемещение тележки. Более того, поскольку угловая скорость  $u_2$ при расчётах взята равной нулю, поведение  $\phi$  описывается винеровским процессом с соответствующими параметрами. Из-за этого оценивать его сложнее всего, хотя и возможно из изменения  $\theta$ . Но, поскольку все наблюдения зашумлены, а при изменении состояния также добавляется шум, эффект накопления ошибки сильнее всего виден именно на этой компоненте состояния. Тем не менее, основную задачу можно признать выполненной - полученный алгоритм достаточно точно оценивает траекторию движения цели несмотря на помехи. Также из таблиц можно увидеть, что оценка, полученная фильтром частиц, часто оказывается хуже оценки UKF (ошибка большге примерно в 1.5-1.6 раза), но при этом процент расходящихся траекторий у РГ сильно меньше (6 против почти 17). То есть, в данном случае большая вычислительная сложность оправдывается большей стабильностью. Если также посмотреть на графики средних ошибок на всех и на неразваливающихся траекториях, будет видно, что фильтр частиц ведёт себя и на тех и на других траекториях похожим образом, в то время как средняя ошибка сигма-точечного фильтра сильно зависит от типа траектории.

Если взглянуть на графики средних ошибок на всех траекториях, можно также заметить, что средняя ошибка растёт. Это может быть связано с тем, что, начиная с некоторого момента, тележка может начать кружить вокруг некоторой точки из-за неуправляемого роста угла поворота. В такие моменты становится сложно предсказать траекторию, так как малое изменение местоположения тележки по сравнению с погрешностью наблюдений сильно сказывается на работе фильтра, и для него такое движение с точки зрения постановки задачи становится мало отличимым от броуновского. Возможно, такого поведения цели можно избежать путём изменения управления с константного на зависящее от времени.